

УДК 546.621:548.734

**КРИСТАЛЛИЧЕСКИЕ СТРУКТУРЫ ТРИС-ГЕКСАФТОРАЦЕТИЛАЦЕТОНАТОВ АЛЮМИНИЯ И СКАНДИЯ**

© 2011 **А.И. Смоленцев\*, К.В. Жерикова, М.С. Трусов, П.А. Стабников, Д.Ю. Наумов, С.В. Борисов**

Учреждение Российской академии наук Институт неорганической химии им. А.В. Николаева СО РАН,  
Новосибирск

Статья поступила 29 октября 2010 г.

С доработки — 9 марта 2011 г.

Методом РСА определены структуры *трис*-гексафторацетилатацетонатов  $\text{Al}(\text{hfa})_3$  и  $\text{Sc}(\text{hfa})_3 \cdot \text{H}_2\text{O}$  (дифрактометр Bruker-Nonius X8 Арх, излучение  $\text{MoK}_{\alpha}$ ,  $T = 150(2)$  К). Комплекс  $\text{Al}(\text{hfa})_3$  кристаллизуется в тригональной сингонии,  $a = 17,8944(11)$ ,  $c = 12,4061(11)$  Å, пр. гр.  $P-3c1$ ,  $V = 3440,3(4)$  Å<sup>3</sup>,  $Z = 6$ ,  $R = 0,076$ . Комплекс  $\text{Sc}(\text{hfa})_3 \cdot \text{H}_2\text{O}$  кристаллизуется в моноклинной сингонии,  $a = 16,0926(4)$ ,  $b = 14,7980(3)$ ,  $c = 24,4020(5)$  Å,  $\beta = 125,641(1)$ °, пр. гр.  $P2_1/c$ ,  $V = 4722,54(18)$  Å<sup>3</sup>,  $Z = 8$ ,  $R = 0,060$ . Структуры комплексов образованы нейтральными молекулами; в состав координационной сферы атома металла входят 6 атомов кислорода трех лигандов β-дикетона ( $\text{Al}(\text{hfa})_3$ ) и, дополнительно, атом кислорода молекулы воды ( $\text{Sc}(\text{hfa})_3 \cdot \text{H}_2\text{O}$ ). Наименьшее расстояние  $\text{Al} \dots \text{Al}$  составляет 6,203(6) Å. За счет водородных связей молекулы  $\text{Sc}(\text{hfa})_3 \cdot \text{H}_2\text{O}$  объединены в димеры с расстояниями  $\text{Sc} \dots \text{Sc}$  5,6992(8) и 5,6853(8) Å. В кристаллах молекулы связаны ван-дер-ваальсовыми взаимодействиями, кроме того, в структуре  $\text{Sc}(\text{hfa})_3 \cdot \text{H}_2\text{O}$  имеются межмолекулярные контакты F...H ~ 2,5 Å.

**Ключевые слова:** алюминий, скандий, β-дикетонаты, рентгеноструктурный анализ, кристаллохимия.

**ВВЕДЕНИЕ**

Летучие β-дикетонаты металлов находят широкое применение для различных газофазных процессов разделения, анализа и нанесения функциональных металлов содержащих покрытий и пленок методом химического осаждения из паровой фазы (МО CVD). Среди β-дикетонатов трехвалентных металлов наибольшей летучестью обладают гексафторацетилатацетонаты  $M(\text{hfa})_3$  [1, 2]. Одним из немаловажных факторов, влияющим на термическое поведение соединения, является его строение как в газовой, так и конденсированной фазе. Структуры некоторых гексафторацетилатацетонатов  $M(\text{hfa})_3$  молекулярного типа уже установлены. Так, в Кембриджской базе структурных данных (КБСД, последнее обновление 10.07.10 содержало более 525 000 файлов) приведены кристаллические структуры семи *трис*-гексафторацетилатацетонатов металлов, не содержащих других лигандов и дополнительных комплексов:  $\text{V}(\text{hfa})_3$  [3],  $\text{Cr}(\text{hfa})_3$  [4, 5],  $\text{Fe}(\text{hfa})_3$  [6],  $\text{Ga}(\text{hfa})_3$  [7],  $\text{Mo}(\text{hfa})_3$  [8],  $\text{Ru}(\text{hfa})_3$  [9] и  $\text{Bi}(\text{hfa})_3$  [10], а также кристаллографические данные еще трех комплексов:  $\text{Mn}(\text{hfa})_3$  [11],  $\text{Rh}(\text{hfa})_3$  и  $\text{Ir}(\text{hfa})_3$  [12]. Известна структура кристаллогидрата  $\text{Er}(\text{hfa})_3 \cdot 2\text{H}_2\text{O}$  [13] и кристаллографические данные для  $\text{Ho}(\text{hfa})_3 \cdot 2\text{H}_2\text{O}$  [14]. Кроме того, методом электронной дифракции паровой фазы определено строение молекул ряда *трис*-гексафторацетилатацетонатов металлов:  $\text{Al}(\text{hfa})_3$  [15];  $\text{Sc}(\text{hfa})_3$  [16];  $\text{Cr}(\text{hfa})_3$  [17];  $\text{Ga}(\text{hfa})_3$  и  $\text{In}(\text{hfa})_3$  [18];  $\text{Y}(\text{hfa})_3$  [19];  $\text{Dy}(\text{hfa})_3$ ,  $\text{Ho}(\text{hfa})_3$ ,  $\text{Er}(\text{hfa})_3$ ,  $\text{Yb}(\text{hfa})_3$  [20] и  $\text{Lu}(\text{hfa})_3$  [21].

\* E-mail: smolentsev@ngs.ru

Настоящая работа является продолжением исследований кристаллических упаковок  $\beta$ -дикетонатов металлов. Здесь приведено описание структур двух гексафторацетилацетонатных комплексов трехвалентных металлов —  $\text{Al}(\text{hfa})_3$  (**I**) и  $\text{Sc}(\text{hfa})_3 \cdot \text{H}_2\text{O}$  (**II**). Дополнительно на основе полученных и литературных данных проведен анализ упаковок молекул в кристаллах ряда *трис*-гексафторацетилацетонатов металлов.

### ЭКСПЕРИМЕНТАЛЬНАЯ ЧАСТЬ

**Синтез  $\text{Al}(\text{hfa})_3$ .** 0,40 г (0,003 моль)  $\text{AlCl}_3$  поместили в колбу, прилили 50 мл толуола, добавили 1,5 мл (2,08 г, 0,01 моль) лиганда  $\text{Hhfa}$ . На колбу поместили обратный холодильник и кипятили смесь в течение 4 ч. После охлаждения раствор отфильтровали и упарили. Остаток дважды сублимировали в вакуумной градиентной печи ( $t \sim 70^\circ\text{C}$ ,  $p = 10^{-2}$  Торр). Зона конденсации белого порошка  $\sim 50^\circ\text{C}$ . Выход 1,7 г (~90%).  $T_{\text{пл}} = 70\text{--}71^\circ\text{C}$ .

**Синтез  $\text{Sc}(\text{hfa})_3$ .** В плоскодонную колбу поместили 1,87 г (0,014 моль)  $\text{Sc}_2\text{O}_3$  и растворили в 20 мл концентрированной азотной кислоты, реакционную смесь упарили. Добавили 15 мл концентрированной соляной кислоты, упарили и снова добавили 15 мл соляной кислоты. Затем реакционную смесь упарили почти досуха. После этого к полученной соли скандия прилили 60 мл  $\text{CCl}_4$  и избыток лиганда 12 мл  $\text{Hhfa}$  (0,081 моль). На колбу поместили обратный холодильник и кипятили смесь в течение 4 ч. После окончания выделения паров  $\text{HCl}$  раствор охладили, отфильтровали и упарили. Полученное вещество белого цвета сублимировали в вакуумной градиентной печи при  $t \sim 70^\circ\text{C}$  и  $p = 9 \cdot 10^{-3}$  Торр. Выход  $\text{Sc}(\text{hfa})_3$  после очистки составил 7,15 г (38%).  $T_{\text{пл}} = 81\text{--}82^\circ\text{C}$ . ИК-спектроскопическое исследование показало, что при хранении соединения на воздухе оно поглощает воду с образованием кристаллогидрата  $\text{Sc}(\text{hfa})_3 \cdot \text{H}_2\text{O}$ .

Элементный анализ очищенных комплексов на содержание С, Н, F выполнен на CHN-анализаторе Euro EA 3000 (Italy) по стандартной методике. Для  $\text{C}_{15}\text{H}_3\text{F}_{18}\text{O}_6\text{Al}$  найдено, %: С 27,7, Н 0,5, F 52,7; вычислено, %: С 27,8, Н 0,5, F 52,8. Для  $\text{C}_{15}\text{H}_3\text{F}_{18}\text{O}_6\text{Sc}$  найдено, %: С 27,1, Н 0,5, F 51,0; вычислено, %: С 27,0, Н 0,5, F 51,3.

Хорошо ограненные бесцветные монокристаллы  $\text{Al}(\text{hfa})_3$  получены при медленной сублимации данного комплекса в вакууме. При медленном охлаждении на воздухе гептанового раствора  $\text{Sc}(\text{hfa})_3$  получены бесцветные монокристаллы кристаллогидрата  $\text{Sc}(\text{hfa})_3 \cdot \text{H}_2\text{O}$ . Исследование монокристаллов проведено по стандартной методике на автоматическом четырехкружном дифрактометре Bruker-Nonius X8 Apex (Мо $K_\alpha$ -излучение, графитовый монохроматор, двухкоординатный CCD-детектор). Интенсивности отражений измерены методом ф-сканирования узких ( $0,5^\circ$ ) фреймов. Поглощение учтено эмпирически (по интенсивностям эквивалентных отражений) при помощи программы SADABS [22]. Кристаллографические характеристики и параметры дифракционного эксперимента приведены в табл. 1.

Кристаллические структуры расшифрованы прямым методом. Атомы водорода локализованы геометрически (за исключением атомов водорода молекулы воды в соединении **II**, положения которых определены из разностного синтеза Фурье) и уточнены в приближении жесткого тела. Окончательное уточнение проведено полноматричным МНК в анизотропном приближении для всех неводородных атомов по независимым отражениям. Все расчеты были выполнены по комплексу программ SHELLXTL [23]. Координаты атомов и величины тепловых параметров депонированы в Кембриджском банке структурных данных (CCDC 797325 и 797326 для соединений **I** и **II** соответственно) и могут быть получены у авторов.

### РЕЗУЛЬТАТЫ И ИХ ОБСУЖДЕНИЕ

**Описание кристаллических структур.** Структура соединения **I** — молекулярная, построена из двух кристаллографически независимых нейтральных молекул, строение которых показано на рис. 1. Атомы Al(1), Al(2) и C(8) располагаются в частных позициях с симметрией 3, 32 и 2 соответственно. Координационная сфера атомов алюминия является октаэдрической, в состав ее входят 6 атомов кислорода трех  $\beta$ -дикетонатных лигандов. Значения длин связей

Таблица 1

*Кристаллографические характеристики, условия и результаты дифракционного эксперимента для Al(hfa)<sub>3</sub> и Sc(hfa)<sub>3</sub>·H<sub>2</sub>O*

Параметр	Al(hfa) <sub>3</sub>	Sc(hfa) <sub>3</sub> ·H <sub>2</sub> O
Брутто-формула	C <sub>15</sub> H <sub>5</sub> AlF <sub>18</sub> O <sub>6</sub>	C <sub>15</sub> H <sub>5</sub> F <sub>18</sub> O <sub>7</sub> Sc
Молекулярный вес	648,15	684,15
T, K	150(2)	150(2)
Сингония	Тригональная	Моноклинная
Пространственная группа	P-3c1	P2 <sub>1</sub> /c
Z	6	8
a, b, c, Å	17,8944(11), 12,4061(11)	16,0926(4), 14,7980(3), 24,4020(5)
β, град.		125,641(1)
V, Å <sup>3</sup>	3440,3(4)	4722,54(18)
d <sub>выч</sub> , г/см <sup>3</sup>	1,877	1,919
Коэффициент поглощения, мм <sup>-1</sup>	0,266	0,489
Размер кристалла, мм	0,40×0,05×0,04	0,24×0,16×0,14
Диапазон сбора данных по θ, град.	1,31—25,68	1,56—25,70
Интервалы индексов отражений	-21 ≤ h ≤ 21, -21 ≤ k ≤ 21, -10 ≤ l ≤ 15	-19 ≤ h ≤ 19, -18 ≤ k ≤ 12, -29 ≤ l ≤ 29
Число измер. / независ. отражений	23742 / 2181	31414 / 8979
Число наблюдаемых отражений [I ≥ 2σ(I)]	1241	6587
Полнота сбора данных, %	99	99
Число уточняемых параметров	184	748
S-фактор по F <sup>2</sup>	0,973	1,105
R <sub>1</sub> [I ≥ 2σ(I)]	0,076	0,060
wR <sub>2</sub> [I ≥ 2σ(I)]	0,209	0,166
R <sub>1</sub> (все отражения)	0,130	0,086
wR <sub>2</sub> (все отражения)	0,245	0,179

Al—O лежат в интервале 1,874(4)—1,877(4) Å, их среднее значение составляет 1,876(1) Å. Координационный октаэдр незначительно искажен, хелатные углы O—Al—O немного превышают значение 90° и составляют 90,9(2) и 91,0(2)° (в молекулах первого и второго типов соответственно).

Геометрические характеристики β-дикетонатных лигандов в структуре I следующие (в скобках указаны средние значения): расстояния O—C лежат в интервале 1,245(7)—1,262(7) Å (1,255(9) Å); C—C<sub>γ</sub> 1,361(8)—1,387(8) Å (1,371(14) Å); C—C<sub>CF<sub>3</sub></sub> 1,514(9)—1,543(9) Å (1,534(17) Å);

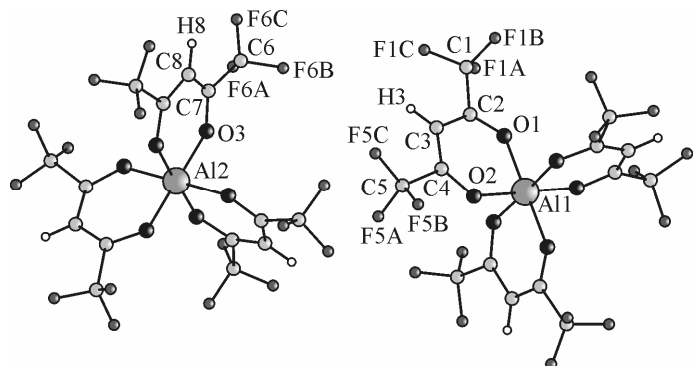


Рис. 1. Строение молекул комплекса Al(hfa)<sub>3</sub>

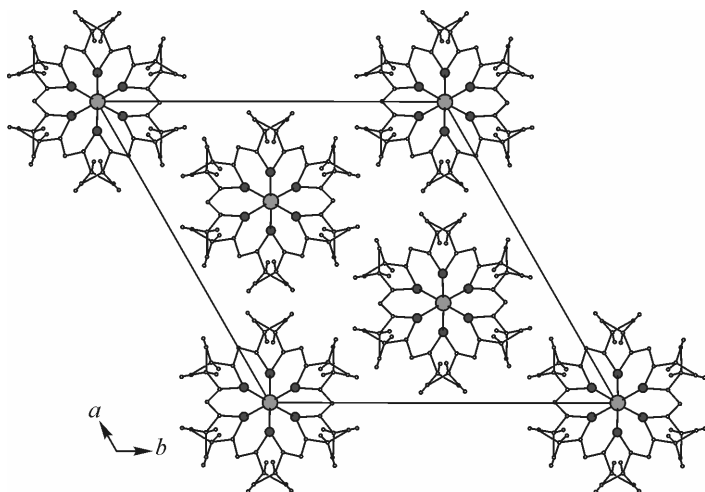


Рис. 2. Упаковка молекул в проекции на плоскость *ab* в кристаллах  $\text{Al}(\text{hfa})_3$

$\text{C}-\text{F}$  в концевых заместителях находятся в интервале  $1,260(13)$ — $1,333(11)$  Å ( $1,29(2)$  Å). Металлоциклы комплекса имеют небольшие перегибы по линиям  $\text{O}\dots\text{O}$ , углы перегиба составляют  $1,5$  и  $0,2^\circ$ . Сумма валентных углов в металлоциклах  $\sim 720^\circ$ .

Исходя из расположения молекул в структуре I можно выделить ряды в направлении оси *c* (рис. 2). В пределах ряда расстояние  $\text{Al}\dots\text{Al}$  составляет  $6,2030(3)$  Å. В проекции на плоскость *ab* эти ряды укладываются по закону гексагональной плотнейшей упаковки, при этом наименьшее расстояние  $\text{Al}\dots\text{Al}$  между атомами из разных рядов  $10,3425(6)$  Å. Кратчайшие межмолекулярные расстояния  $\text{F}\dots\text{H}$  и  $\text{F}\dots\text{F}$  составляют  $\sim 2,8$  и  $\sim 3,0$  Å соответственно.

Структура соединения II также построена из двух кристаллографически независимых нейтральных молекул, строение которых показано на рис. 3. Координационное окружение атомов скандия включает 7 атомов кислорода, 6 из которых принадлежат  $\beta$ -дикетонатным лигандам, и один — молекуле воды, располагающихся в вершинах слегка искаженной одношапочкой тригональной призмы. Значения длин связей  $\text{Sc}—\text{O}$  находятся в достаточно широком (вследствие наличия координированных молекул воды) интервале  $2,100(3)$ — $2,240(3)$  Å, их среднее значение составляет  $2,15(4)$  Å. Хелатные углы  $\text{O}—\text{Sc}—\text{O}$  также заметно различаются, их значения лежат в интервале  $78,08(10)$ — $80,23(10)^\circ$  со средним  $78,8(9)^\circ$ . Атомы кислорода молекул воды расположены практически над центрами боковых граней координационных призм, при этом углы между связями  $\text{Sc}—\text{O}(\text{w})$  и плоскостями этих граней  $\sim 89,5^\circ$ .

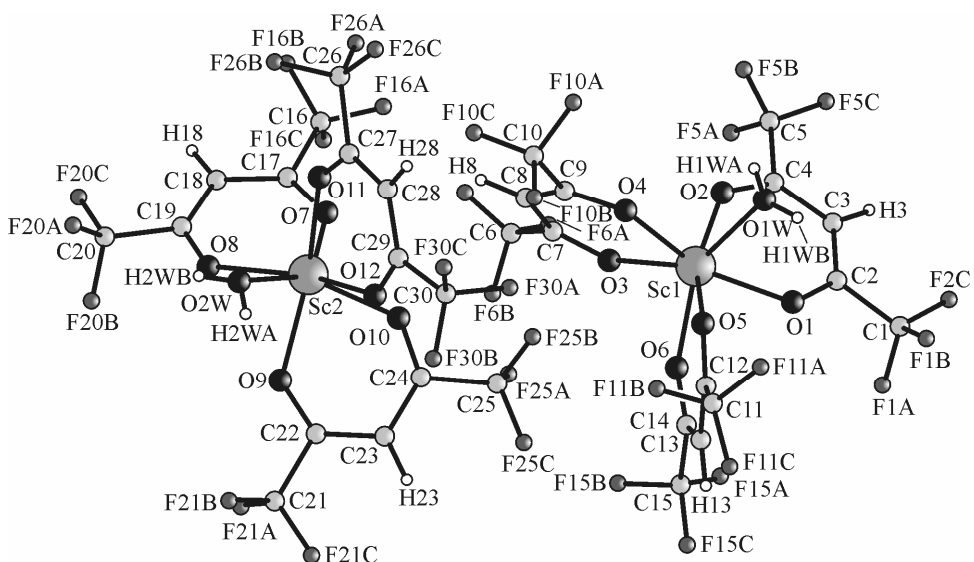


Рис. 3. Строение молекул комплекса  $\text{Sc}(\text{hfa})_3 \cdot \text{H}_2\text{O}$

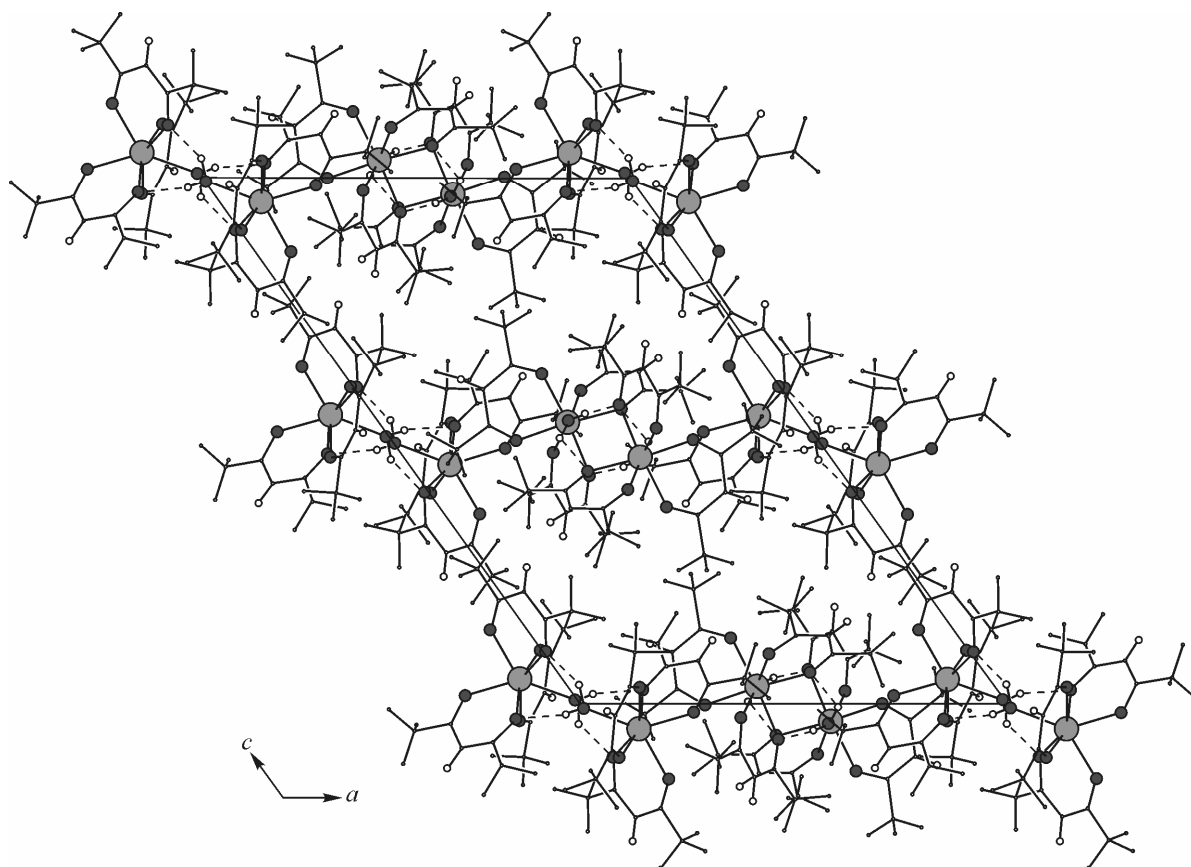


Рис. 4. Упаковка псевдослоев вдоль направления  $c$  в кристаллах  $\text{Sc}(\text{hfa})_3 \cdot \text{H}_2\text{O}$

В структуре **II**  $\beta$ -дикетонатные лиганды имеют следующие геометрические характеристики (в скобках указаны средние значения): расстояния O—C находятся в интервале 1,238(5)—1,275(5) Å (1,258(11) Å); C—C <sub>$\gamma$</sub>  1,368(6)—1,408(6) Å (1,386(11) Å); C—C<sub>CF<sub>3</sub></sub> 1,516(6)—1,532(5) Å (1,527(5) Å); C—F 1,205(6)—1,350(7) Å (1,31(3) Å). Почти все металлоциклы имеют значительное отклонение от плоскости, углы перегиба по линии O...O варьируют в диапазоне 1,5—13,8°. Сумма валентных углов в металлоциклах ~720°.

В данной структуре молекулы ассоциированы в "димеры" благодаря образованию водородных связей между атомами водорода молекул воды и атомами кислорода  $\beta$ -дикетонатных лигандов. Водородные связи характеризуются расстояниями O...O, лежащими в интервале 2,921(3)—2,998(3) Å. Расстояния Sc...Sc в "димерах" равны 5,6992(8) и 5,6853(8) Å. В структуре можно выделить псевдослои, характеризующиеся более плотной упаковкой комплексов (рис. 4). Центры "димеров", образующих псевдослой, следуютискаженной квадратной сетке с параметром ~11 Å.

Между собой "димеры" связаны ван-дер-ваальсовыми взаимодействиями; можно также указать короткие межмолекулярные контакты F...H <sub>$\gamma$</sub>  ~ 2,5 Å и F...F ~ 2,8 Å.

При повторной сублимации образца, содержащего кристаллы  $\text{Sc}(\text{hfa})_3 \cdot \text{H}_2\text{O}$ , в вакуумной градиентной печи ( $t \sim 70$  °C,  $p = 10^{-2}$  Торр) получен многофазный образец, в котором на фоне бесцветной мелкоцисталической массы выделялись монокристаллы (в зоне конденсации 50 °C), один из которых был отобран и исследован методом РСА. Качество этих монокристаллов позволило надежно определить лишь симметрийные и метрические характеристики, тогда как полную расшифровку структуры осуществить не удалось. Однако полученных данных оказалось достаточно для того, чтобы сделать вывод о соответствии структуры исследованного

Таблица 2

Кристаллографические характеристики трис-гексафторацетилацетонатов некоторых металлов

Комплекс, лит. ссылка	Фаза	$T, K,$ $R_1$	Пр. гр., $Z$	$V/Z, \text{ \AA}$	$a, \text{ \AA},$ $\alpha, \text{ град.}$	$b, \text{ \AA},$ $\beta, \text{ град.}$	$c, \text{ \AA},$ $\gamma, \text{ град.}$
V(hfa) <sub>3</sub> 2005 [ 3 ]	$\alpha$	203, 0,054	$P2_1/n,$ 4	558,7	8,824	13,167; 91,90	19,245
Cr(hfa) <sub>3</sub> 2002 [ 4 ]	$\alpha$	91, 0,033	$P2_1/n,$ 4	538,5	8,732	12,942; 92,07	19,074
Cr(hfa) <sub>3</sub> 2007 [ 5 ]	$\beta$	198, 0,055	$P-3c1,$ 6	570,3	18,086	18,086	12,079; 120
Mn(hfa) <sub>3</sub> * 1993 [ 11 ]	$\alpha$	114, 0,036	$P2_1/n,$ 4	538,4	8,879	12,941; 91,35	18,748
Fe(hfa) <sub>3</sub> 1983 [ 6 ]	$\alpha$	комн., 0,079	$P2_1/c,$ 4	586,2	9,057	13,424; 116,71	21,591
Ga(hfa) <sub>3</sub> 1994 [ 7 ]	$\alpha$	комн., 0,048	$P2_1/n,$ 4	577,6	9,034	13,399; 92,19	19,100
Mo(hfa) <sub>3</sub> 2010 [ 8 ]	$\gamma$	180, 3,02	$P-3,$ 6	567,4	18,488	18,488	11,502; 120
Ru(hfa) <sub>3</sub> 1999 [ 9 ]	$\alpha$	180, 0,028	$P2_1/n,$ 4	550,1	8,778	13,076; 92,23	19,186
Rh(hfa) <sub>3</sub> * 1970 [ 12 ]	$\alpha$	комн., —	$P2_1/n,$ 4	589,3	19,110	13,500; 93,10	9,150
Rh(hfa) <sub>3</sub> * 1970 [ 12 ]	$\beta$ или $\gamma$	комн. —	— 3	595,0	18,270	18,270	6,175; 120
Ir(hfa) <sub>3</sub> * 1970 [ 13 ]	$\beta$ или $\gamma$	комн. —	— —	—	18,200	18,200	6,160; 120
[Bi(hfa) <sub>3</sub> ] <sub>2</sub> 2005 [ 10 ]	$\delta$	173, 0,027	$P-1,$ 4	565,4	8,590; 104,7	12,609; 93,35	21,884; 97,64
Al(hfa) <sub>3</sub> [ данная работа ]	$\beta$	150, 0,076	$P-3c1,$ 6	573,4	17,8944	17,8944	12,4061; 120
Sc(hfa) <sub>3</sub> [ данная работа ]	$\gamma$	180, —	$P-3,$ 6	569,0	18,5570	18,5570	11,4479; 120
Ho(hfa) <sub>3</sub> ·2H <sub>2</sub> O* 1998 [ 15 ]	—	комн., 0,045	$P-1,$ 2	649,9	10,158; 67,02	11,628; 73,95	12,579; 76,12
Er(hfa) <sub>3</sub> ·2H <sub>2</sub> O 2006 [ 14 ]	—	120, 0,027	$P-1,$ 2	617,7	9,906; 67,91	11,526; 73,79	12,304; 76,09
Sc(hfa) <sub>3</sub> ·H <sub>2</sub> O [ данная работа ]	—	150, 0,060	$P2_1/c$	590,3	16,0926	14,7980; 125,641	24,4020

\* Координаты атомов не приведены.

монокристалла структуре Mo(hfa)<sub>3</sub>. С другой стороны, ИК-спектроскопическое исследование порошкового образца из указанной зоны конденсации показало присутствие в нем молекул воды. Таким образом, сублимация в вакууме Sc(hfa)<sub>3</sub>·H<sub>2</sub>O приводит к образованию как минимум двух кристаллических фаз — безводного Sc(hfa)<sub>3</sub>, соответствующего по структуре Mo(hfa)<sub>3</sub> (табл. 2), и кристаллогидрата.

**Особенности упаковок трис-гексафторацетилацетонатов металлов.** Имеющийся к настоящему времени массив структурных данных для этих комплексов (см. табл. 2) позволяет провести анализ упаковок. Строение трис-гексафторацетилацетонатов металлов (рис. 5) может

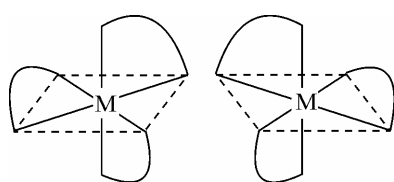


Рис. 5. Две хиральные формы ( $C$  и  $C^*$ ) *tris*-(дипивалоилметаната) металла

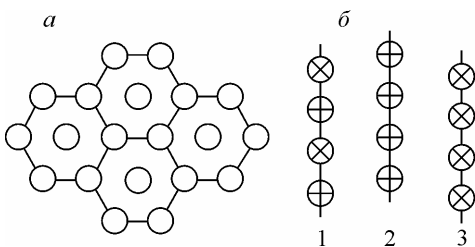


Рис. 6. Ближайшее гексагональное окружение молекул в плотноупакованных плоскостях  $\alpha$ -фазы (а); цепочки молекул в упаковке  $\beta$ -фазы (б). Знаками  $\oplus$  и  $\otimes$  обозначены различные хиральные формы —  $C$  и  $C^*$

быть представлено в виде двух хиральных форм  $C$  и  $C^*$ . Приписывание молекуле в кристалле формы  $C$  или  $C^*$  проводили так же, как и в [24]. При анализе упаковок с учетом хиральности молекул *tris*-гексафторацетилацетонатов металлов выявлено четыре различные фазы —  $\alpha$ ,  $\beta$ ,  $\gamma$  и  $\delta$ .

**В кристалле  $\alpha$ -фазы** (например,  $\text{Fe}(\text{hfa})_3$ ,  $P2_1/c$ ) в элементарной ячейке содержится четыре молекулы — две  $C$  и две  $C^*$  формы. В плоскости (001) молекулы одинаковой хиральности сформированы в гексагональную сетку с расстояниями между центрами молекул  $7,9$ — $8,9$  Å (рис. 6, а). Вдоль направления [001] идет последовательное чередование плоскостей с изменением хиральности молекул (упаковка  $ACAC^*$ ). Ближайшие расстояния между центрами молекул из разных плоскостей  $\sim 9,5$  Å. С учетом хиральности ближайшее окружение для молекулы формы  $C$  можно записать  $[6C]+2C^*$ , а для формы  $C^*$  —  $[6C^*]+2C$ . Таким образом, ближайшее молекулярное окружение в кристалле  $\alpha$ -фазы является почти правильной гексагональной бипирамидой.

**В кристалле  $\beta$ -фазы** (например,  $\text{Al}(\text{hfa})_3$ ,  $P-3c1$ ) 6 молекул в элементарной ячейке —  $3C$  и  $3C^*$  формы. В структуре выделяется направление  $c$ , вдоль которого молекулы образуют ряды, расстояние между центрами  $\sim 6,2$  Å. В кристалле три типа таких рядов из молекул (см. рис. 6, б). В проекции на плоскость  $ab$  эти ряды располагаются по гексагональному мотиву. Ближайшее расстояние между центрами молекул из разных рядов  $> 10,3$  Å. В структуре центры молекул формируют плотноупакованные плоскости (110).

**В кристалле  $\gamma$ -фазы** (например,  $\text{Mo}(\text{hfa})_3$ ,  $P-3$ ) 6 молекул в элементарной ячейке —  $3C$  и  $3C^*$  формы. Как и в структуре  $\beta$ -фазы, выделяется направление  $c$ , вдоль которого молекулы образуют ряды, расстояние между центрами  $\sim 6$  Å. Но, в отличие от  $\beta$ -фазы, только один тип рядов, в которых хиральности молекул чередуются, как на рис. 6, б (ряд 1). Такие ряды укладываются в проекции на плоскость  $ab$  также по гексагональному мотиву. Ближайшее расстояние между центрами молекул из разных рядов  $> 10$  Å. В структуре центры молекул формируют плотноупакованные плоскости (110).

**В кристалле  $\delta$ -фазы** (например,  $[\text{Bi}(\text{hfa})_3]_2$ ,  $P-1$ ) 4 молекулы в элементарной ячейке, которые образуют две димерные молекулы. Расстояние  $\text{Bi}\dots\text{Bi}$  в димере  $\sim 4$  Å. В направлении  $a$  димеры упакованы более плотно с расстоянием  $\text{Bi}\dots\text{Bi}$   $8,6$ — $8,8$  Å. В целом структуру можно представить как упаковку димерных комплексов.

#### СПИСОК ЛИТЕРАТУРЫ

1. Moshier R.W., Sievers R.E. Gas Chromatography of Metal Chelates. — Oxford: Pergamon Press, 1965.
2. Игуменов И.К., Чумаченко Ю.В., Земсков С.В. В кн. Проблемы химии и применения  $\beta$ -дикетонатов металлов / Под ред. В.И. Спицина. — М.: Наука, 1982. — С. 100—120.
3. Calderazzo F., Englert U., Pampaloni G., Volpe M. // J. Organomet. Chem. — 2005. — **690**. — Р. 3321.
4. Jessop P.G., Olmstead M.M., Abian C.D. et al. // Inorg. Chem. — 2002. — **41**. — Р. 3463.
5. Harada Y., Girolami G.S. // Polyhedron. — 2007. — **26**. — Р. 1758.
6. Pfluger C.E., Haradem P.S. // Inorg. Chem. Acta. — 1983. — **69**. — Р. 141.

7. Ballarin B., Battiston G.A., Benetollo F. et al. // Inorg. Chim. Acta. – 1994. – **217**. – P. 71 – 78.
8. Champouret Y., Poli R., Daran J.-C. // Acta Crystallogr. Sect. E. – 2010. – **E66**. – P. m299 – m300.
9. Baird I.R., Rettig S.J., James B.R., Skov K.A. // Canad. J. Chem. – 1999. – **77**. – P. 1821.
10. Dikarev E.V., Haitao Zhang, Bo Li // J. Amer. Chem. Soc. – 2005. – **127**. – P. 6156.
11. Bouwman E., Caulton K.G., Christon G. et al. // Inorg. Chem. – 1993. – **32**. – P. 3463.
12. Davignon L., Manoli J.M., Dereigne A. // J. Less-Common Met. – 1970. – **21**. – P. 341.
13. Tan R.H.C., Motevalli M., Abrahams I. et al. // J. Phys. Chem. B. – 2006. – **110**. – P. 24476.
14. Joung Hae Lee, Young Sook Jung, Youn Soo Sohn, Seong-Joo Kang // Bull. Korean Chem. Soc. – 1998. – **19**. – P. 231.
15. Morris M.L., Hildebrandt R.L. // J. Mol. Struct. – 1979. – **53**. – P. 69 – 80.
16. Belova N.V., Girichev G.V., Hinchley S.L. et al. // J. Mol. Struct. – 2005. – **779**. – P. 23 – 29.
17. Thomas B.G., Morris M.L., Hildebrandt R.L. // Inorg. Chem. – 1978. – **17**. – P. 2901 – 2905.
18. Brain P.T., Burhl M., Robertson H.E. et al. // J. Chem. Soc., Dalton Trans. – 1998. – P. 545.
19. Гиричев Г.В., Рыбкин В.В., Твердова Н.В. и др. // Журн. структур. химии. – 2007. – **48**, № 5. – С. 871 – 879.
20. Твердова Н.В., Гиричев Г.В., Рыбкин В.В. и др. // Журн. структур. химии. – 2008. – **49**, № 6. – С. 1041 – 1050.
21. Гиричев Г.В., Твердова Н.В., Гиричева Н.И. и др. // Журн. физ. химии. – 2007. – **81**, № 4. – С. 672 – 679.
22. Bruker (2004). APEX2 (Version 1.08), SAINT (Version 7.03), SADABS (Version 2.11). Bruker AXS Inc., Madison, Wisconsin, USA.
23. Sheldrick G.M. // Acta Crystallogr. Sect. A. – 2008. – **A64**. – P. 112 – 122.
24. Стабников П.А., Жаркова Г.И., Комисарова Л.А. и др. // Журн. структур. химии. – 2010. – **51**, № 3. – С. 575 – 586.